

# 2022 北京朝阳高三二模

## 物 理

2022.5

(考试时间 90 分钟满分 100 分)

### 第一部分

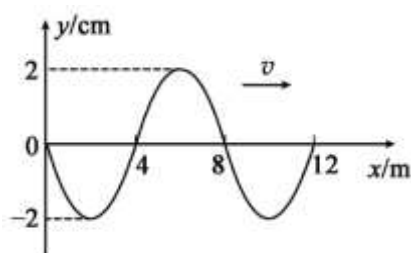
本部分共 14 题，每题 3 分，共 42 分。在每题列出的四个选项中，选出最符合题目要求的一项。

1. 一个铀核( ${}_{92}^{235}\text{U}$ )发生裂变，核反应方程是 ${}_{92}^{235}\text{U} + {}_0^1\text{n} \rightarrow {}_{54}^{140}\text{Xe} + {}_{38}^{94}\text{Sr} + 2\text{X}$ ，则

- A. X 是电子，裂变过程放出能量
- B. X 是电子，裂变过程吸收能量
- C. X 是中子，裂变过程放出能量
- D. X 是中子，裂变过程吸收能量

2. 一列沿  $x$  轴正方向传播的简谐横波，波速为  $4\text{m/s}$ 。某时刻波形如图所示，下列说法正确的是

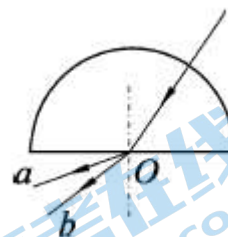
- A. 这列波的振幅为  $4\text{cm}$
- B. 这列波的周期为  $1\text{s}$
- C. 此时  $x = 4\text{m}$  处质点沿  $y$  轴正方向运动
- D. 此时  $x = 4\text{m}$  处质点的加速度为  $0$



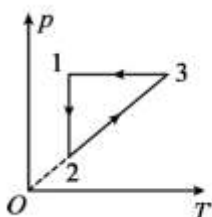
3. 如图所示，一束可见光射向半圆形玻璃砖的圆心  $O$ ，经折

射后分为两束单色光  $a$  和  $b$ 。下列说法正确的是

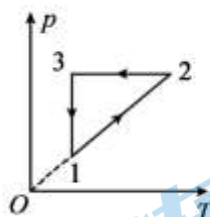
- A. 玻璃对  $a$  光的折射率小于对  $b$  光的折射率
- B.  $a$  光的频率大于  $b$  光的频率
- C. 在真空中  $a$  光的波长大于  $b$  光的波长
- D.  $a$  光光子能量小于  $b$  光光子能量



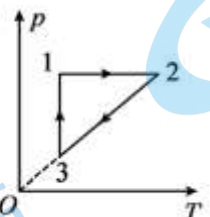
4. 如图表示一定质量的理想气体从状态 1 出发经过状态 2 和 3，最终又回到状态 1，其中从状态 3 到状态 1 图线为双曲线。那么，在下列  $p$ - $T$  图像中，反映了上述循环过程的是



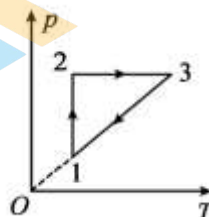
A



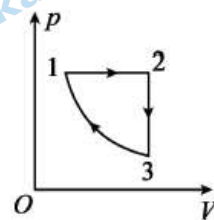
B



C

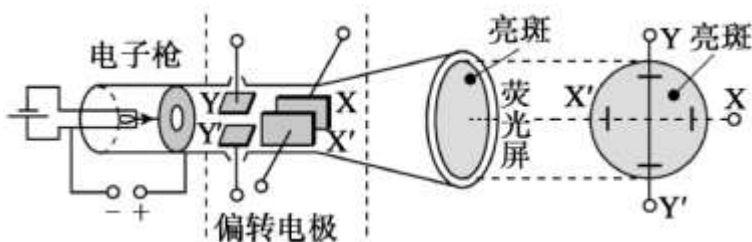


D

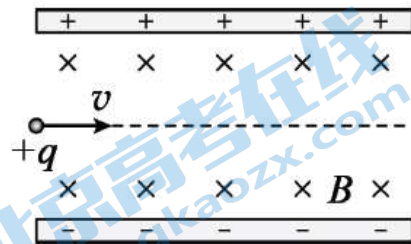


5. 示波管是示波器的核心部件，它由电子枪、偏转电极和荧光屏组成。某时刻在荧光屏上的  $P$  点出现亮斑，如图所示。则此时

- A. 电极  $X$  和  $Y$  应带正电
- B. 电极  $X'$  和  $Y'$  应带正电
- C. 电极  $X$  和  $Y'$  应带正电
- D. 电极  $X'$  和  $Y$  应带正电

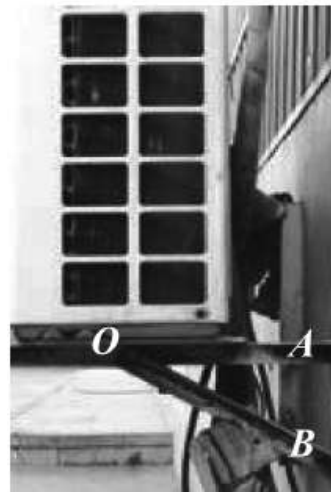


6. 如图所示，水平放置的平行金属板间存在相互垂直的匀强电场和匀强磁场。一个电荷量为 $+q$ 、量为 $m$ 的粒子（不计重力）以速度 $v$ 水平向右射入，粒子恰沿直线穿过。下列说法正确的是



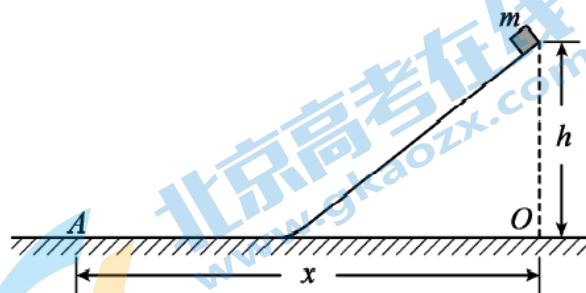
- A. 若粒子从右侧水平射入，粒子仍能沿直线穿过
- B. 若只将粒子的电荷量变为 $+2q$ ，粒子将向下偏转
- C. 若只将粒子的电荷量变为 $-2q$ ，粒子仍能沿直线穿过
- D. 若只将粒子的速度变为 $2v$ 且粒子不与极板相碰，则从右侧射出时粒子的电势能减少

7. 如图所示，一台空调外机用两个相同的三角形支架固定在外墙上，支架横梁 $AO$ 和斜梁 $BO$ 的连接点为 $O$ ，另一支架横梁与斜梁的连接点为 $O'$ （图中未画出），空调外机的重心恰好在 $OO'$ 连线中点的正上方。横梁 $AO$ 水平，对 $O$ 点的力为 $F_A$ ，斜梁 $BO$ 跟横梁 $AO$ 夹角为 $37^\circ$ ，对 $O$ 点的力为 $F_B$ 。已知空调外机的重力大小为 $210\text{N}$ ，忽略支架的重力， $\sin 37^\circ=0.6$ ， $\cos 37^\circ=0.8$ 。下列说法正确的是



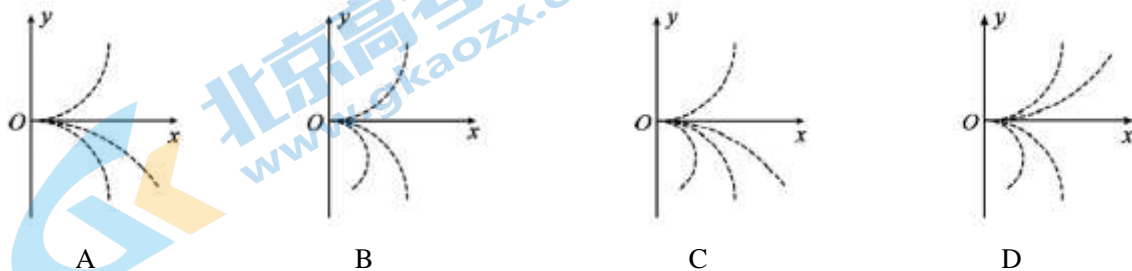
- A.  $F_A=140\text{N}$ ，方向由 $O$ 向 $A$
- B.  $F_A=140\text{N}$ ，方向由 $A$ 指向 $O$
- C.  $F_B=210\text{N}$ ，方向由 $O$ 指向 $B$
- D.  $F_B=210\text{N}$ ，方向由 $B$ 指向 $O$

8. 如图所示，某一斜面的顶端到正下方水平面 $O$ 点的高度为 $h$ ，斜面与水平面平滑连接。一小木块从斜面的顶端由静止开始滑下，滑到水平面上的 $A$ 点停止。已知斜面倾角为 $\theta$ ，小块质量为 $m$ ，小木块与斜面、水平面间的动摩擦因数均为 $\mu$ ， $A$ 、 $O$ 两点的距离为 $x$ 。在小木块从斜面顶端滑到 $A$ 点的过程中，下列说法正确的是



- A. 如果 $h$ 和 $\mu$ 一定， $\theta$ 越大， $x$ 越大
- B. 如果 $h$ 和 $\mu$ 一定， $\theta$ 越大， $x$ 越小
- C. 摩擦力对木块做功为 $-\mu mgx \cos \theta$
- D. 重力对木块做功为 $\mu mgx$

9. 四个带电粒子的电荷量和质量分别为 $(+q, m)$ 、 $(+q, 2m)$ 、 $(+3q, 3m)$ 、 $(-q, m)$ ，它们先后以相同的速度从坐标原点 $O$ 沿 $x$ 轴正方向射入一匀强磁场中，磁场方向垂直于 $xOy$ 平面。不计重力，下列描绘这四个粒子运动轨迹的图像中，可能正确的是



10. 一带电小球在空中由 $A$ 点运动到 $B$ 点的过程中，只受重力、静电力和空气阻力的作用。若此过程中，小球的重力势能增加 $5\text{J}$ ，机械能增加 $1.5\text{J}$ ，静电力做功 $2\text{J}$ ，则下列说法正确的是

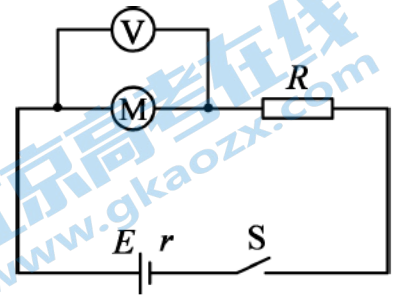
关注北京高考在线官方微信：[北京高考资讯\(微信号:bjgkzx\)](https://www.bjgkzx.com)，获取更多试题资料及排名分析信息。

- A. 重力做功 5J                      B. 电势能增加 2J                      C. 空气阻力做功 0.5J                      D. 动能减少 3.5J

11. 在如图所示的电路中，电源电动势为 6V，内阻为  $2\Omega$ ，定值电阻  $R$  的阻值为  $10\Omega$ ，电动机的线圈阻值为  $2\Omega$ 。闭合开关 S 后，理想电压表的示数为 3V。

下列说法正确的是

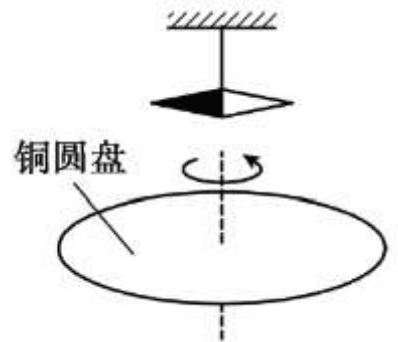
- A. 电源的输出功率为 4.5W  
 B. 电动机消耗的功率为 0.75W  
 C. 电动机线圈在 1 分钟内产生的热量为 0.125J  
 D. 如果电动机被卡住，电压表的示数将变大



12. 1824 年，法国科学家阿拉果完成了著名的“圆盘实验”。实验中将一铜圆盘水平放置，在其中心正上方用柔软细线悬挂一枚可以自由旋转的磁针，如图所示。

实验中发现，当圆盘在磁针的磁场中绕过圆盘中心的竖直轴旋转时，磁针也随着一起转动起来，但略有滞后。下列说法正确的是

- A. 磁针的磁场使圆盘磁化，圆盘产生的磁场导致磁针转动  
 B. 圆盘内的涡电流产生的磁场导致磁针转动  
 C. 在圆盘转动的过程中，磁针的磁场穿过整个圆盘的磁通量发生了变化  
 D. 圆盘中的自由电子随圆盘一起运动形成电流，此电流产生的磁场导致磁针转动



13. 如图所示，将一铝质薄圆管竖直放在表面绝缘的台秤上，圆管的电阻率为  $\rho$ ，高度为  $h$ ，半径为  $R$ ，厚度为  $d$  ( $d$  远小于  $R$ )。整个装置处于方向竖直向下、磁感应强度大小  $B = kt$  ( $k > 0$ ) 均匀磁场

中。则从  $t = 0$  时刻开始，下列说法正确的是

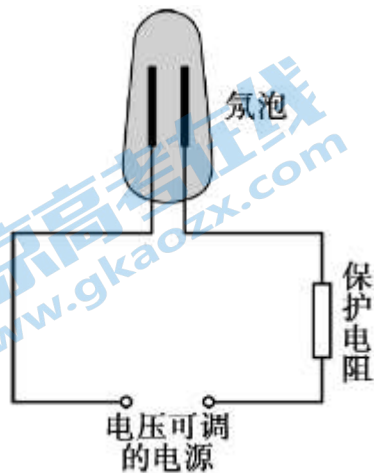
- A. 从上向下看，圆管中的感应电流为顺时针方向  
 B. 圆管中的感应电动势大小为  $2\pi khR$   
 C. 圆管中的感应电流大小为  $\frac{kRh d}{2\rho}$   
 D. 台秤的读数会随时间推移而增大



14. 氖泡可用于指示和保护电路。在玻璃管中有两个相同的板状金属电极，并充入低压氖气，在两极间接入电压使氖气导电，如果金属电极发出的电子在电场作用下获得足够的能量，就能使氖气发光。

将氖泡、保护电阻和电压可调的电源按如图所示的电路连接。氖泡用黑纸包住，黑纸上留出一条狭缝使光可以照射到氖泡。发现在没有光照的暗室中，当电源电压为  $U_0$  时，氖泡恰能发光；当电源电压为  $U_1$  ( $U_1 < U_0$ ) 时，氖泡不发光，但同时用频率为  $\nu_1$  的紫光照射氖泡，氖泡也恰能发光。两次实验中，氖泡恰能发光时回路中的电流可认为相等。已知普朗克常量为  $h$ ，电子电荷量为  $e$ 。下列说法正确的是

- A. 若保持电压  $U_1$ ，不变，用黄光照射氖泡，氖泡也能发光
- B. 通过实验可知，紫光的光子能量  $h\nu_1 = eU_0 - eU_1$
- C. 通过实验可知，电极中的电子脱离金属至少需要  $eU_0$  的能量
- D. 实验中必须使用直流电源才能观察到上述现象



第二部分

本部分共 6 题，共 58 分。

15. (9分)

物理实验一般都涉及实验目的、实验原理、实验仪器、实验方法、实验操作、数据分析等。例如：

(1) 实验仪器。用螺旋测微器测某金属丝的直径，示数如图 1 所示。则该金属丝的直径为\_\_\_\_\_mm

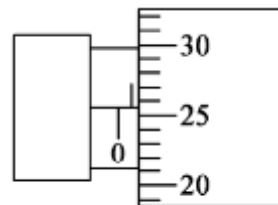


图 1

(2) 数据分析。打点计时器在随物体做匀变速直线运动的纸带上打点，纸带的一部分如图 2 所示， $B$ 、 $C$ 、 $D$  为纸带上标出的连续 3 个计数点，相邻计数点之间还有 4 个计时点没有标出。打点计时器接在频率为 50Hz 的交流电源上。则物体运动的加速度  $a =$ \_\_\_\_\_  $m/s^2$  (结果保留两位有效数字)。

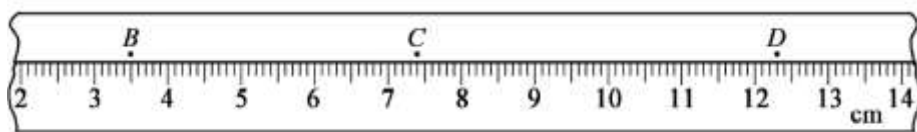


图 2

(3) 实验原理。某同学用单摆测量重力加速度的大小，他测量摆线的长度  $l$  和对应的周期  $T$ ，得到多组数据，作出了  $l-T^2$  图像，如图 3 所示。他认为根据图线可求得重力加速度  $g = \frac{4\pi^2 b}{a_2 - a_1}$ ，则从理论上

分析，他求得的重力加速度  $g$  \_\_\_\_\_ 真实值 (选填“大于”“等于”或“小于”)。请分析说明理由。

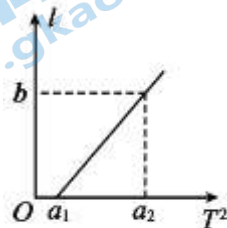


图 3

16. (9分)

某实验小组用可拆变压器探究“变压器的电压与匝数的关系”，可拆变压器如图所示。



(1) 以下给出的器材中，本实验需要用到的是\_\_\_\_\_。



A. 干电池



B. 学生电源



C. 实验室用电压表



D. 多用电表

(2) 关于本实验, 下列说法正确的是\_\_\_\_\_。

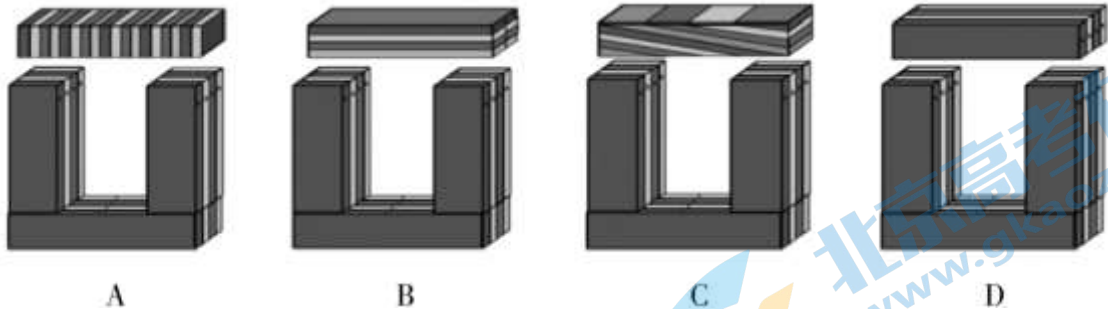
- A. 为确保实验安全, 实验中要求原线圈匝数小于副线圈匝数
- B. 因为使用的电压较低, 通电时可直接用手接触裸露的导线进行连接
- C. 实验时可以保持原线圈电压、匝数不变, 改变副线圈的匝数, 探究副线圈匝数对副线圈电压的影响
- D. 变压器开始正常工作后, 通过铁芯导电将电能从原线圈传递到副线圈

(3) 某次实验中, 用匝数  $n_a=400$  匝和  $n_b=800$  匝的线圈实验, 测量的数据如下表所示, 下列说法中正确的是\_\_\_\_\_。

$U_a/V$	1.80	2.80	3.80	4.90
$U_b/V$	4.00	6.01	8.02	9.98

- A. 原线圈的匝数为  $n_a$ , 用较粗导线绕制
- B. 副线圈的匝数为  $n_a$ , 用较细导线绕制
- C. 原线圈的匝数为  $n_b$ , 用较细导线绕制
- D. 副线圈的匝数为  $n_b$ , 用较粗导线绕制

(4) 为了减小能量传递过程中的损失, 铁芯是由相互绝缘的硅钢片平行叠成。作为横档的铁芯 Q 的硅钢片应按下述哪种方法设计\_\_\_\_\_。

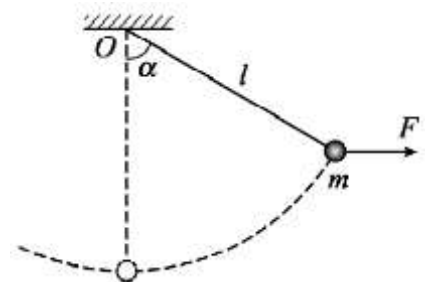


17. (9分)

如图所示, 长度  $l=0.1\text{m}$  的轻绳上端固定在  $O$  点, 下端系一质量  $m=0.1\text{kg}$  的小球 (可视为质点)。取重力加速度  $g=10\text{m/s}^2$ 。

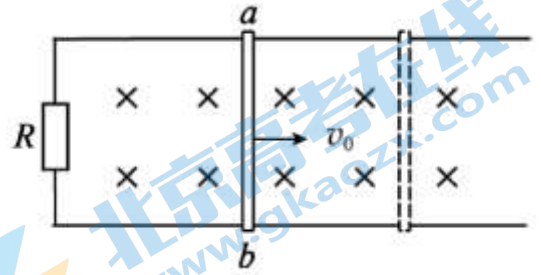
- (1) 在水平拉力的作用下, 轻绳与竖直方向的夹角  $\alpha=60^\circ$ , 小球保持静止。求此时小球所受水平拉力的大小  $F$ ;
- (2) 由图示位置无初速释放小球, 不计空气阻力。当小球通过最低点时, 求:

- a. 小球动量的大小  $p$ ;
- b. 轻绳对小球拉力的大小  $F_T$ 。



18. (9分)

如图所示，宽度为  $L$  的  $U$  型导体框，水平放置在磁感应强度大小为  $B$ 、方向竖直向下的匀强磁场中，左端连接一阻值为  $R$  的电阻。一质量为  $m$ 、电阻为  $r$  的导体棒  $ab$  置于导体框上。不计导体框的电阻、导体棒与框间的摩擦，导体棒  $ab$  与导体框始终接触良好。在水平向右的拉力作用下，导体棒  $ab$  以速度  $v_0$  匀速向右运动。



- (1) 求通过导体棒  $ab$  的电流大小  $I$ ;
- (2) 求拉力做功的功率  $P$ ;
- (3) 某时刻撤去拉力，经过一段时间导体棒  $ab$  停在导体框上，求在此过程中电阻  $R$  上产生的热量  $Q$ 。

19. (10分)

在分析和解决物理问题时，有时可以通过合理、恰当的假设，进行分割或填补，使研究对象或研究过程对称，从而使复杂问题简单化。

(1) 如图 1 所示，一小球从  $A$  点水平抛出，它在  $B$  点与竖直墙壁发生一次弹性碰撞后，以同样大小的速率反弹，最终落在  $C$  点。假设小球没有被墙壁阻挡，经过  $B$  点后会继续沿着抛物线运动，直至落在  $C'$  点，小球由  $B$  到  $C$  的运动轨迹与  $BC'$  曲线关于竖直墙壁对称。已知抛出点  $A$  离水平地面的高度为  $h$ ，与墙壁的水平距离为  $s$ ，落地点距墙壁的水平距离为  $2s$ ，重力加速度为  $g$ 。不计空气阻力。求小球抛出时的初速度  $v_0$ 。

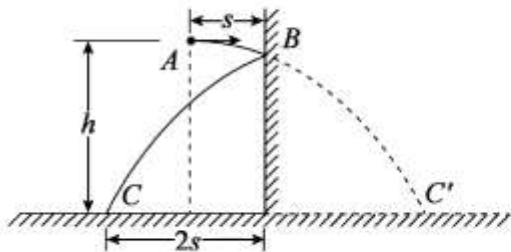


图 1

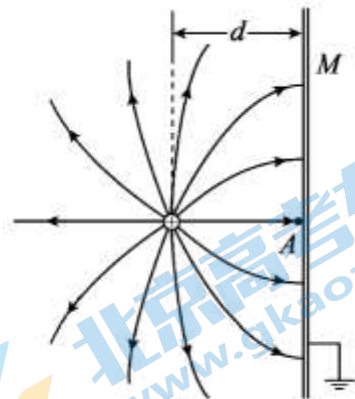


图 2

(2) 点电荷  $+q$  与无限大金属平板  $M$  之间的电场线分布如图 2 所示，金属板  $M$  接地，它表面处的电场线均与其表面垂直。A 点在点电荷到金属板的垂线上，且靠近  $M$  板。已知点电荷与金属板间的距离为  $d$ 。求 A 点电场强度的大小  $E$ 。

(3) 对磁现象的成功解释最早是由安培提出的。如图 3 所示，V 形长直导线中通过稳恒电流  $I$ ，图中角平分线上的  $P$  点距 V 形顶点的距离为  $d$ 。按照安培的计算， $P$  点的磁感应强度大小  $B = k \tan \frac{\alpha}{2}$  (式中  $k$  为比例系数，且  $k$  和  $\alpha$  已知)。

按照现在的电磁理论，无限长直导线通过电流为  $I$  时，距直导线为  $r$  处的磁感应强度大小  $B = \frac{\mu_0 I}{2\pi r}$ （其中  $\mu_0$ ，为已知常数）。

图中  $P'$  点与  $P$  相对于 V 形导线顶点对称，位于角平分线上。求  $P'$  点的磁感应强度大小  $B'$ 。

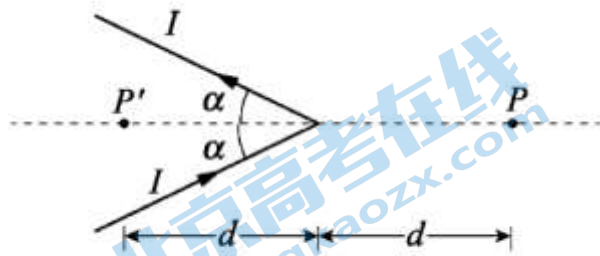


图 3

20. (12分)

“星空浩瀚无比，探索永无止境。”人类从未停止对宇宙的探索，中国航天事业正在创造更大的辉煌。

(1) 变轨技术是航天器入轨过程中的重要一环。实际航行中的变轨过程较为复杂，为方便研究我们将航天器的变轨过程简化为如图 1 所示的模型：①将航天器发射到近地圆轨道 1 上；②在 A 点点火加速使航天器沿椭圆轨道 2 运行，轨道 1 和轨道 2 相切于 A 点，A、B 分别为轨道 2 的近地点与远地点，地球的中心位于椭圆的一个焦点；③在远地点 B 再次点火加速，航天器沿圆轨道 3 运行，轨道 2 和轨道 3 相切于 B 点。

已知引力常量为  $G$ ，地球的质量为  $M$ ，轨道 1 半径为  $R$ ，轨道 3 半径为  $3R$ ，质量为  $m$  的物体与地球间的引力势能  $E_p = -\frac{GMm}{r}$ （ $r$  为物体到地心的距离，取无穷远处引力势能为零）。

a. 求航天器在圆轨道 1 上运行时的速度大小  $v_1$ ；

b. 开普勒第二定律表明：航天器在椭圆轨道 2 上运行时，它与地球中心的连线在相等的时间内扫过的面积相等。请根据开普勒第二定律和能量守恒定律，求航天器在椭圆轨道 2 近地点 A 的速度大小  $v_A$ 。

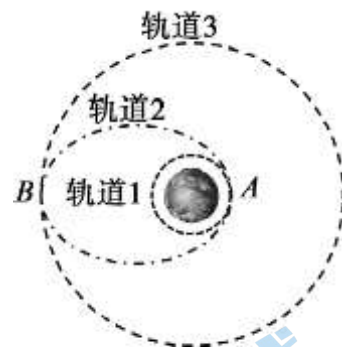


图 1

(2) 在航天器到达预定高度后，通常使用离子推进器作为动力装置再进行姿态和轨道的微小修正。如图 2 所示，推进剂从 P 处注入，在 A 处电离出正离子，B、C 之间加有恒定电压  $U$ ，正离子进入 B 时的速度忽略不计，经加速形成电流为  $I$  的离子束从出口 D 喷出。已知单位时间内喷出的离子质量为  $m_0$ 。为研究方便，假定离子推进器在太空飞行时不受其它外力，忽略推进器运动的速度。求推进器获得的推力的大小  $F$ 。

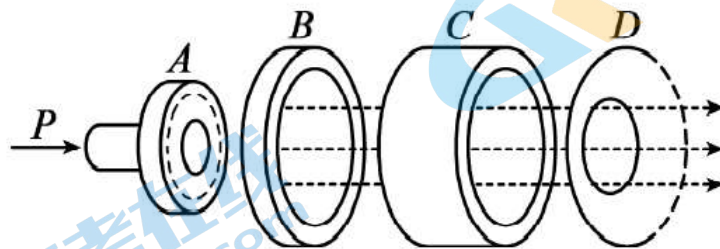


图 2

## 参考答案

第一部分共 14 题，每题 3 分，共 42 分。

1. C      2. D      3. B      4. C      5. A  
6. C      7. A      8. D      9. A      10. D  
11. B      12. B      13. C      14. B

第二部分共 6 题，共 58 分。

15. (9 分)

- (1) 0.755 ( $\pm 0.003$ )  
(2) 1.0  
(3) 等于

设摆球半径为  $r$ ，则单摆的摆长  $L = l + r$ 。根据单摆的周期公式有  $T = 2\pi\sqrt{\frac{l+r}{g}}$ ，所以  $l = \frac{g}{4\pi^2}T^2 - r$ ，可知在  $l-T^2$

图像中，图线的斜率  $k = \frac{g}{4\pi^2} = \frac{b}{a_2 - a_1}$ ，所以  $g = \frac{4\pi^2 b}{a_2 - a_1}$ ，等于真实值。

16. (9 分)

- (1) BD  
(2) C  
(3) C  
(4) D

17. (9 分)

(1) 小球的受力情况如图所示，根据平衡条件及几何关系有

$$\frac{F}{mg} = \tan \alpha$$

所以  $F = mg \tan \alpha = \sqrt{3} \text{N} \approx 1.73 \text{N}$

(2) a. 设小球通过最低点时的速度为  $v$ ，根据机械能守恒定律有

$$mgl(1 - \cos \alpha) = \frac{1}{2}mv^2$$

解得  $v = 1 \text{m/s}$

所以  $p = mv = 0.1 \text{kg} \cdot \text{m/s}$

b. 根据牛顿第二定律有

$$F_T - mg = m \frac{v^2}{l}$$

解得  $F_T = 2 \text{N}$

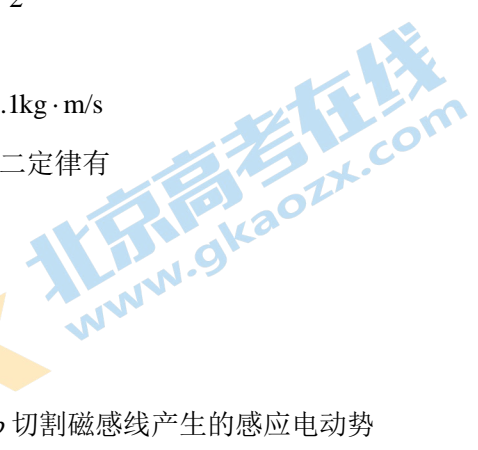
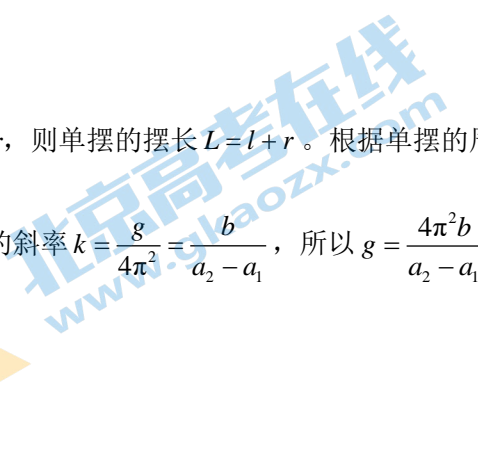
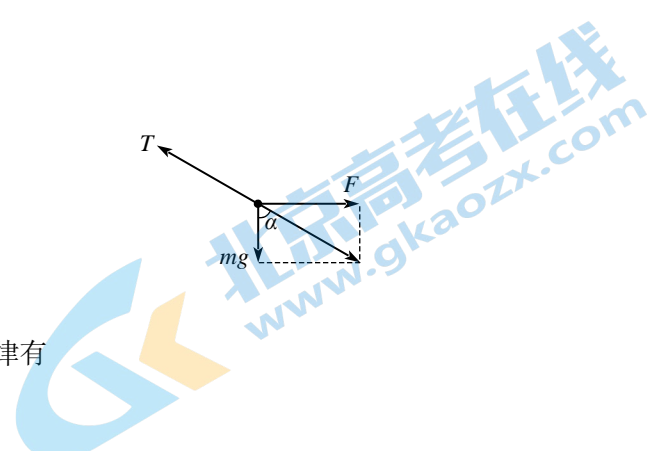
18. (9 分)

(1) 导体棒  $ab$  切割磁感线产生的感应电动势

$$E = BLv_0$$

通过导体棒  $ab$  的感应电流

关注北京高考在线官方微信：[北京高考资讯\(微信号:bjgkzx\)](http://www.bjgkzx.com)，获取更多试题资料及排名分析信息。





$$I = \frac{E}{R+r} = \frac{BLv_0}{R+r}$$

(2) 导体棒  $ab$  受到的安培力

$$F = ILB$$

导体棒  $ab$  以速度  $v_0$  匀速向右运动，所以

$$F_{\text{拉}} = F$$

$$P = F_{\text{拉}} v_0 = \frac{B^2 L^2 v_0^2}{R+r}$$

则拉力做功的功率

(3) 根据能量守恒定律，回路中产生的总热量

$$Q_{\text{总}} = \frac{1}{2} m v_0^2$$

因为  $R$  与  $r$  串联，所以  $R$  产生的热量

$$Q = \frac{R}{R+r} Q_{\text{总}} = \frac{m v_0^2 R}{2(R+r)}$$

19. (10分)

(1) 由对称性，若没有竖直墙壁，则小球沿  $ABC'$  轨迹做平抛运动。设运动时间为  $t$ ，则

$$\text{在水平方向上 } 3s = v_0 t$$

$$\text{在竖直方向上 } h = \frac{1}{2} g t^2$$

$$\text{解得 } v_0 = 3s \sqrt{\frac{g}{2h}}$$

(2) 由题中所述电场线的特点，可知此电场可视为一对电荷量为  $+q$  和  $-q$  的点电荷形成的电场， $A$  点恰为两电荷连线上的中点。

现补充  $-q$  电荷，形成的电场如图 1 所示。则  $A$  点的电场强度

$$E = k \frac{q}{d^2} + k \frac{q}{d^2} = \frac{2kq}{d^2}$$

(3) 方法一：

如图 2 所示，利用割补对称思想， $P'$  点的磁感应强度可视为两个无限长直导线磁场和导线  $V'$  在该处磁感应强度的叠加，即

$$B' = 2 \times \frac{\mu_0 I}{2\pi d \sin \alpha} - k \tan \frac{\alpha}{2}$$

$$= \frac{\mu_0 I}{\pi d \sin \alpha} - k \tan \frac{\alpha}{2}$$

方法二：

如图 3 所示， $P'$  点的磁感应强度可视为夹角为  $2(\pi - \alpha)$  的 V 形导线产生的磁场，则

$$B' = k \tan \frac{\pi - \alpha}{2} = \frac{k}{\tan \frac{\alpha}{2}}$$

(说明：方法一、二的结果可以证明具有一致性。)

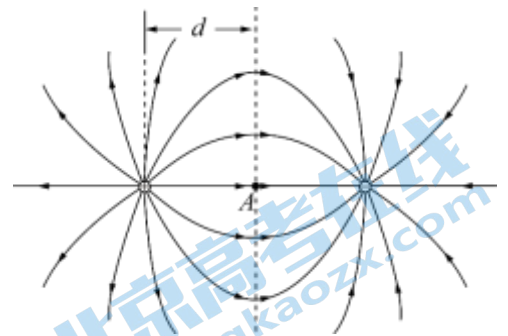


图 1

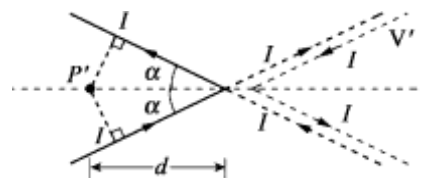


图 2

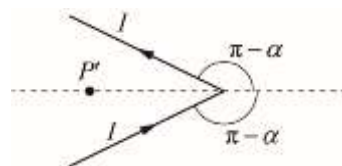


图 3

20. (12分)

(1) a. 当航天器在圆轨道 1 上运行时, 根据牛顿第二定律和万有引力定律有

$$\frac{GMm}{R^2} = m \frac{v^2}{R} \text{ ①}$$

解得  $v = \sqrt{\frac{GM}{R}}$

b. 设航天器通过椭圆轨道 2 远地点  $B$  的速度为  $v_B$ 。在航天器经过近地点  $A$  和远地点  $B$  时分别取一小段时间  $\Delta t$ , 根据开普勒第二定律有

$$\frac{1}{2} v_A \cdot \Delta t \cdot R = \frac{1}{2} v_B \cdot \Delta t \cdot 3R \text{ ②}$$

根据能量守恒定律有

$$\frac{1}{2} m v_A^2 + \left(-\frac{GMm}{R}\right) = \frac{1}{2} m v_B^2 + \left(-\frac{GMm}{3R}\right) \text{ ③}$$

联立②③解得  $v_A = \sqrt{\frac{3GM}{2R}}$

(2) 设离子的电荷量为  $q$ , 质量为  $m$ 。对离子加速过程, 根据动能定理有

$$qU = \frac{1}{2} m v^2 - 0 \text{ ④}$$

加速后离子束形成的电流

$$I = \frac{m_0}{m} q \text{ ⑤}$$

取  $\Delta t$  时间内喷出的离子束为研究对象, 其质量

$$M = m_0 \cdot \Delta t \text{ ⑥}$$

设这部分离子束所受的作用力为  $F'$ , 根据动量定理有

$$F' \cdot \Delta t = M v \text{ ⑦}$$

联立④⑤⑥⑦解得  $F' = \sqrt{2UIm_0}$

根据牛顿第三定律可知, 推进器获得的推力  $F = F' = \sqrt{2UIm_0}$

## 2022 北京高三各区二模试题下载

北京高考资讯公众号搜集整理了【**2022 北京各区高三二模试题&答案**】，想要获取试题资料，关注公众号，点击菜单栏【**一模二模**】→【**二模试题**】，即可**免费获取**全部二模试题及答案，欢迎大家下载练习！

还有更多**二模成绩、排名、赋分**等信息，考后持续分享！



# 微信搜一搜

北京高考资讯



一模试题

**二模试题**

高考真题

期中期末

各省热门试题

识别二维码查看下载  
北京各区二模试题&答案

这里有最新热门试题

考后最快更新分享

北京高考资讯

一模二模 热门资讯 福利资料